

Előadó: Derényi Inna

Téma: 5-501  
4 500 - 10 000

EA1

Kontinuitási egyenlet:

$$\frac{\partial S}{\partial t} + \nabla \cdot \mathbf{j} = 0 \Rightarrow \nabla \cdot \left( \frac{\partial H}{\partial \mathbf{p}_i} \right) = \sum_{i=1}^N \left[ \frac{\partial q_i}{\partial t} \left( \frac{\partial H}{\partial q_i} \right) + \frac{\partial p_i}{\partial t} \left( \frac{\partial H}{\partial p_i} \right) \right]$$



$$q_i = \frac{\partial H}{\partial p_i} \quad \frac{\partial q_i}{\partial t} = \frac{\partial^2 H}{\partial p_i \partial t}$$

$$p_i = -\frac{\partial H}{\partial q_i} \quad \frac{\partial p_i}{\partial t} = -\frac{\partial^2 H}{\partial q_i \partial t}$$

$$\frac{dS}{dt} = \frac{\partial S}{\partial t} + \sum \frac{\partial S}{\partial q_i} \frac{dq_i}{dt} + \sum \frac{\partial S}{\partial p_i} \frac{dp_i}{dt}$$

Ergodikus hipotézis: Ergodicitás: A teljes rendszer elonulása meggyökerül egy végtelen sok állapot elonulásával. A rendszer a teljes konfigurációs térben minden állapotot azonos valószínűséggel bejár (mikrokanonikus rendszer). Ha a rendszer ergodikus volt az elonulás → bármely pillanatban az a létező állapotok.

Ergodicitás: A teljes rendszer elonulás meggyökerül egy végtelen sok állapot elonulásával. A rendszer a teljes konfigurációs térben minden állapotot azonos valószínűséggel bejár (mikrokanonikus rendszer). Ha a rendszer ergodikus volt az elonulás → bármely pillanatban az a létező állapotok.

Kanonikus elonulás: A teljes rendszerrel egy kis rendszerrel vizsg. A teljes rendszer felbontjuk a kölcsönleges mikroállapotokra.  $\Omega$ : a teljes rendszer mikroállapotainak száma (T: a teljes rendszer jelleme).  $S^T = k_B \ln \Omega^T$ .  $S^T = E + E^*$ ,  $S^T = k_B \ln \Omega^T$ ,  $S^* = k_B \ln \Omega^*$ ,  $S = k_B \ln \Omega$ .

$P_i = \frac{\Omega^* \Omega^T}{\Omega^T \Omega^T} \exp \left[ \frac{S^* (E^T - E_i)}{k_B} \right] = \frac{\Omega^* \Omega^T}{\Omega^T \Omega^T} e^{-\frac{E_i - E^*}{k_B T}}$ . A kanonikus elonulás:  $P_i = \frac{e^{-\frac{E_i - E^*}{k_B T}}}{\sum_j e^{-\frac{E_j - E^*}{k_B T}}}$ . A kanonikus elonulás:  $P_i = \frac{e^{-\frac{E_i - E^*}{k_B T}}}{\sum_j e^{-\frac{E_j - E^*}{k_B T}}}$ . A kanonikus elonulás:  $P_i = \frac{e^{-\frac{E_i - E^*}{k_B T}}}{\sum_j e^{-\frac{E_j - E^*}{k_B T}}}$ .

Mikrokanonikus elonulás:  $P_i = \frac{1}{\Omega(E, V, N)}$ . A mikrokanonikus elonulás:  $P_i = \frac{1}{\Omega(E, V, N)}$ . A mikrokanonikus elonulás:  $P_i = \frac{1}{\Omega(E, V, N)}$ . A mikrokanonikus elonulás:  $P_i = \frac{1}{\Omega(E, V, N)}$ .

PT szabvány: A kis rendszer (mikrokanonikus) és a nagy rendszer (kanonikus) közötti kapcsolat.  $\Omega^* \Omega^T = \Omega^T$ .

$$P_i = \frac{\Omega^* \Omega^T}{\Omega^T \Omega^T} e^{-\frac{E_i - E^*}{k_B T}}$$

$$P_i = \frac{e^{-\frac{E_i - E^*}{k_B T}}}{\sum_j e^{-\frac{E_j - E^*}{k_B T}}}$$

$$P(E, V) = \frac{e^{-\frac{E - E^*}{k_B T}}}{\sum_j e^{-\frac{E_j - E^*}{k_B T}}}$$

Membránok (Lipidkettőrétegek): Lipid kettőréteg: 4-6 nm. Membránok: Liposomok, Liposomok, Liposomok. Membránok: Liposomok, Liposomok, Liposomok.

Fosfolipidok: foszfor gliceridok. Foszfor gliceridok: foszfor gliceridok. Foszfor gliceridok: foszfor gliceridok. Foszfor gliceridok: foszfor gliceridok.

Teljesen víz oldható: Növekszik a felületi területe (csökken a víz oldhatóság). Csökken az oldhatóság.

Glycolipidok: cukor molekulák/lánca. Galaktosin molekulák: a lipid membránok elonulásait csökkenti, de a fluiditást is csökkenti.

Lipid molekulák mozgása a membránban: Flip flopp: két membrán közötti mozgás. Vízoldhatóság:  $\sim 10^{-10} \text{ s}^{-1}$ . Nyílás: 1-2% felület elonulás. Jónyílások: jónyílások mint a csőcső.

Kapacitás:  $C = \frac{Q}{U} = \frac{\epsilon_0 \epsilon_r A}{d}$ . Membrán kapacitása:  $C = \frac{\epsilon_0 \epsilon_r A}{d} = 10^{-10} \text{ F}$ . Membrán kapacitása:  $C = \frac{\epsilon_0 \epsilon_r A}{d} = 10^{-10} \text{ F}$ .

Fosfolipidok: foszfor gliceridok. Foszfor gliceridok: foszfor gliceridok. Foszfor gliceridok: foszfor gliceridok. Foszfor gliceridok: foszfor gliceridok.

$d\psi = -D_c(C_k + C_k \frac{z_k e}{k_B T} \psi')$   
 $\psi' = \frac{z_k e}{k_B T} \psi$  (kötő ionsok a membrán pereménél)  
 Stacionárius egyensúlyi állapotok:  $d\psi = -D_c \frac{dC_k}{dx}$   
 $C_k = \frac{z_k e}{k_B T} \psi$  (ionok)  
 $C_k = C_k^0 e^{-\frac{z_k e}{k_B T} \psi}$  (ionok és elektrolit)

A stacionárius ell. feltétele:  $\sum d_k z_k e = 0$   
 A nettó áram nulla:  $\sum j_k - \sum j_a = \sum (D_c \frac{dC_k}{dx} - \frac{z_k e}{k_B T} C_k \psi')$

EA4:  $j_k = -D_k C_k \frac{dC_k}{dx} + \frac{z_k e}{k_B T} C_k \psi'$

EA4: Nernst-Planck egyenlet  
 $j_k = -D_k C_k \frac{dC_k}{dx} + \frac{z_k e}{k_B T} C_k \psi'$   
 Diffúziós egyenlet alapján:  $D = \frac{k_B T}{\sigma}$   
 $u = \psi$   
 EA5:  $\Delta G = \mu_A + \mu_B - \mu_{A+B} + k_B T \ln \frac{[A][B]}{[A+B]}$   
 $\Delta G = \Delta G^\circ + k_B T \ln \frac{[A][B]}{[A+B]}$   
 $\Delta G^\circ = -n e E^\circ$   
 $\Delta G = -n e E$

$d_k = -D_k (C_k' + C_k \frac{z_k e}{k_B T} \psi')$   
 $\Delta \psi = 0 \Rightarrow j_k = -D_k C_k' - D_k \frac{z_k e}{k_B T} C_k \psi'$   
 $C_k' = -\frac{z_k e}{D_k} \frac{d\psi}{dx} C_k$   
 $\frac{dC_k}{dx} = -\frac{z_k e}{k_B T} C_k \frac{1}{D_k} (C_k + \frac{z_k e}{k_B T} \frac{k_B T}{D_k} \psi) = -\frac{z_k e}{D_k} (C_k + \frac{z_k e}{D_k} \psi)$   
 $\frac{dC_k}{C_k} = -\frac{z_k e}{D_k} (1 + \frac{z_k e}{D_k} \psi) dx$

Integrálást elvégzve:  
 $-\frac{z_k e}{D_k} [x]_0^L = \ln(C_k + \frac{z_k e}{D_k} \psi) - \ln(C_k)$   
 $-\frac{z_k e}{D_k} L = \ln(\frac{C_k + \frac{z_k e}{D_k} \psi}{C_k})$   
 $e^{-\frac{z_k e}{D_k} L} = \frac{C_k + \frac{z_k e}{D_k} \psi}{C_k}$   
 $e^{-\frac{z_k e}{D_k} L} C_k = C_k + \frac{z_k e}{D_k} \psi$   
 $C_k (e^{-\frac{z_k e}{D_k} L} - 1) = \frac{z_k e}{D_k} \psi$   
 $\psi = \frac{D_k}{z_k e} C_k (e^{-\frac{z_k e}{D_k} L} - 1)$   
 $\psi = \frac{D_k}{z_k e} C_k (e^{-\frac{z_k e}{D_k} L} - 1)$   
 $\psi = \frac{D_k}{z_k e} C_k (e^{-\frac{z_k e}{D_k} L} - 1)$

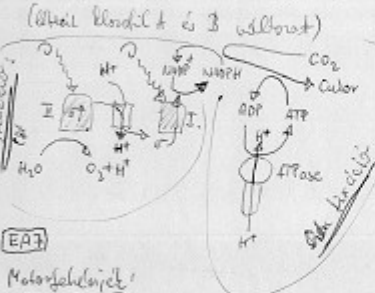
EA5:  $\Delta G = \mu_A + \mu_B - \mu_{A+B} + k_B T \ln \frac{[A][B]}{[A+B]}$   
 $\Delta G = \Delta G^\circ + k_B T \ln \frac{[A][B]}{[A+B]}$   
 $\Delta G^\circ = -n e E^\circ$   
 $\Delta G = -n e E$   
 EA6: Metabolizmus:  
 Oxidatív foszforiláció:  
 $NADH \rightarrow NAD + H^+$   
 $2H^+ + 2e^- \rightarrow H_2$   
 $2e^- + 2H^+ \rightarrow H_2$   
 $NADH + H^+ + 2e^- \rightarrow NAD + 2H^+$   
 $\frac{1}{2} O_2 + 2H^+ + 2e^- \rightarrow H_2O$

EA6: Metabolizmus:  
 Oxidatív foszforiláció:  
 Elektron szállító lánc:  
 $NADH \rightarrow FMN \rightarrow Fe-S \rightarrow Ubi \rightarrow Cyt c \rightarrow Cyt c_1 \rightarrow ATP$   
 $2H^+ + 2e^- \rightarrow H_2$   
 $2e^- + 2H^+ \rightarrow H_2$   
 $NADH + H^+ + 2e^- \rightarrow NAD + 2H^+$   
 $\frac{1}{2} O_2 + 2H^+ + 2e^- \rightarrow H_2O$   
 Mitochondrium:  
 - külső membrán: protonok szivattyúja  
 - belső membrán: ATP szintézise helye  
 Standard elektrodák:  $E^\circ = 0,42V$   
 $E^\circ = E^\circ - \frac{m}{n} \ln \frac{[H^+]}{[H_2]}$   
 $E^\circ = E^\circ - \frac{m}{n} \ln \frac{[H^+]}{[H_2]}$   
 $E^\circ = E^\circ - \frac{m}{n} \ln \frac{[H^+]}{[H_2]}$



**Növények:**  
**Kloroplastok:**

Tyfosoid membránok - a baktériumokból származóak

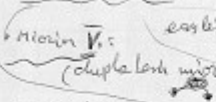


**EAB**

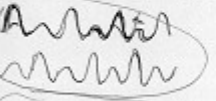
**Motorfehérjék:**

- ATP szintézis
- Baktériális flagellum motorfehérje komplexe
- mikrotubulusok mozgásmotorfehérjei (pl.: kinezin)
- mikofilamentumok - 1 pE alatti filamentumok (miozin)
- aktin motorfehérjék

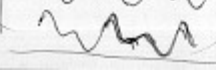
1 cm összehúzódás:



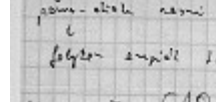
**Miozin V:**  
(dupla fele miozin)



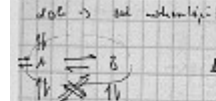
**Kinezin:**  
- mozgóított objektum



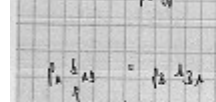
Power stroke része



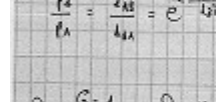
Power stroke része



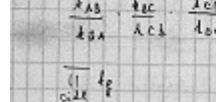
Power stroke része



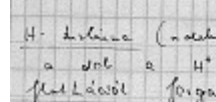
Power stroke része



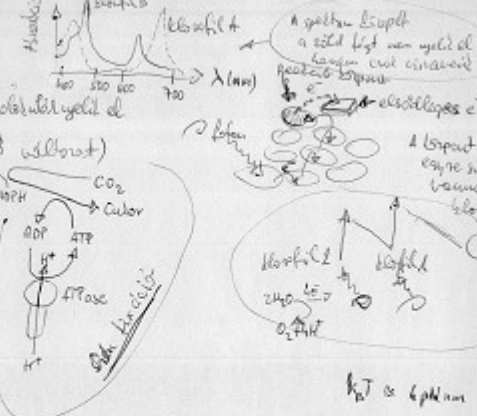
Power stroke része



Power stroke része



Power stroke része



$k_B \approx 6 pN \cdot nm$

ATP hidrolízisével kapcsolatos információk

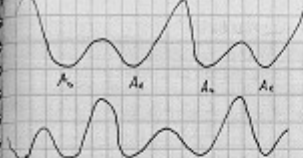
- ATP hidrolízisével kapcsolatos információk
- a szomszédos motorfehérjék közötti kölcsönhatás
- a motorfehérjék közötti kölcsönhatás
- a motorfehérjék közötti kölcsönhatás

diffúzió:  $t \approx \frac{l^2}{D} \quad | \quad D \approx 10^{-10} m^2/s$

motorfehérje:  $t \approx \frac{l}{v} \quad | \quad v \approx 10^6 m/s$

**EAB**

a motorfehérjék közötti kölcsönhatás



**EAB/2**

hát fordulás miatt kapcsolódás információk között



ATP hidrolízis → energiaszintézis (igaz nem mindig)

motorfehérjék közötti kölcsönhatás

motorfehérjék közötti kölcsönhatás

motorfehérjék közötti kölcsönhatás

motorfehérjék közötti kölcsönhatás

motorfehérjék közötti kölcsönhatás

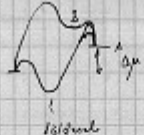
motorfehérjék közötti kölcsönhatás

motorfehérjék közötti kölcsönhatás

motorfehérjék közötti kölcsönhatás

**EAS/3**

megértés és nem művelés  
energia leltépezés → ATP



konvenció: világ, az az világ modelle → két kísérlető folyam-  
van párhuzamos

g<sub>p</sub> → elg<sub>p</sub> → világos → világos

ATP szintje: csökken lefelé, majd 10μm/100g

30μm s.t.

E<sub>1</sub> látszólag dinamikus

OWLS (Optical Waveguide Light Sheet Spectroscopy)



nem alacsony sűrűségű fotonokból nem lehet  
az optikai sűrűség és az optikai sűrűség  
há az optikai sűrűség nem lehet az optikai sűrűség

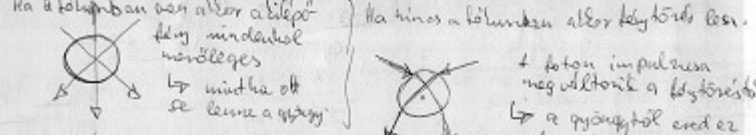
$$L = 20 \text{ cm} \quad l = 2 \text{ cm} \quad \text{m} \cdot \text{s}^{-1} \quad \text{m} \cdot \text{s}^{-1}$$

$$L = \frac{1}{\omega} \quad \text{m} \cdot \text{s}^{-1}$$

$$2L = L + L \quad \text{m} \cdot \text{s}^{-1}$$

**Optikai csip:**

fel felhívott kábel a felületen tartandó egy gyűrűsmező

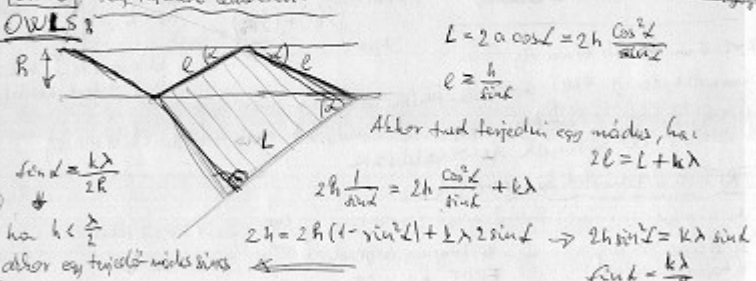


Fotós kábel a gyűrűs mezőre az optikai csip  
A csip felületén az optikai csip felületén az optikai csip

$$F = ma = m \cdot g = \frac{dF}{dt} \Rightarrow \text{teljesítmény}$$

$$F = \frac{dE}{dt} = \frac{c}{c} \frac{dE}{dt} = \frac{c}{c} P \approx L \cdot 33 \text{ pW}$$

**EA10** kényeztetés lemezen



Alkalmazás:  $10^{13} \text{ 1/cm}^2$   
vagyis minden felületre kitapadt pl. felület vizsgálata  
med olyan mint a kóros vizsgálata a lemez → 2 különböző oldal  
Az a módszer ami tud benne fejezteni azzal a vizsgálattal  
A bevizsgálás helyén optikai csip  
amiből a vizsgálatra felhívott csip  
Az a vizsgálat a vizsgálat a vizsgálat

**EAS** rezonancia energiaátvitel



Fluoreszcencia:  $\lambda_{max}$  480-500 nm,  $\lambda_{exc}$  520-550 nm  
FRET:  $K_{FRET} \sim \frac{1}{R^6}$   
Nagyobb:  $R = \frac{1}{\sqrt{\frac{1}{R_0^6} + \frac{1}{R^6}}}$

konvenció a FRET molekula közötti kölcsönhatás  
FRET a fotonszintézis szabályozása

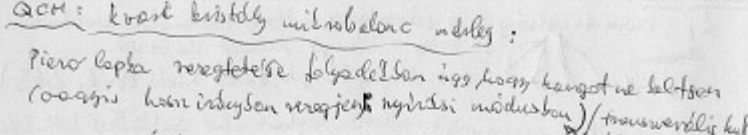
ez a két molekula közti távolság (nm)  
A szubsztancia átvitelének sebessége

Az autómata rendszerben az energia átvitelének sebessége  
A szubsztancia átvitelének sebessége

széleskörűen használt (2400-2600 nm)  
60% szubsztancia átvitelének sebessége  
A szubsztancia átvitelének sebessége

**SPR: Részlet a plazmon rezonancia**

olyan mint az OWLS, csak itt nem a közepes részét vizsgáljuk  
csak a közepes részét vizsgáljuk

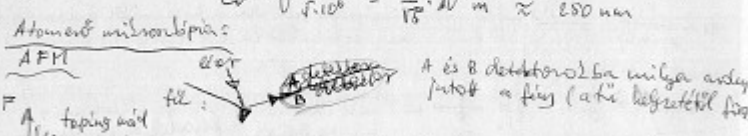


Ha kiműköd a közepes részét vizsgáljuk  
valamennyi molekula az növeli az energiát

$$F = 4-6 \text{ MHz}, \quad \lambda = 150 \text{ nm}$$

$$\eta: \text{vörösvérsejt} \quad \frac{\sqrt{2}}{2} \text{ dimenzió: } [m] \Rightarrow l \text{ (hosszúság)}$$

$$f: \text{frekvencia} \quad \lambda = \frac{c}{f} = \frac{3 \cdot 10^8}{10^{14}} = 3 \cdot 10^{-6} \text{ m} \approx 300 \text{ nm}$$



Atomerő mikroszkópia: AFM  
Az a vizsgálat a vizsgálat a vizsgálat



**Elektrosztatika**

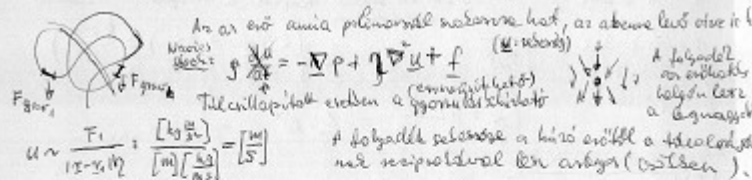
- Feladatok + SDS (strukturálódás)
- (↳ demontázás a feladat elvégzése után: 10 / 20 perc)
- DNS/RNS (nem kell SDS, mert)  $\approx 10^6$  / Belső felület van.

**Sedimentáció:**

$L_k$ : Kútvíz áteresztőképesség, a feltöltés sebessége a kútvíz felszínénél a kútvíz felületénél:  $10^6$  / 20 perc

↳ egyenes kútvíz mozgását a feltöltés sebessége a kútvíz felületénél a kútvíz felületénél.

$\sigma^2 = \frac{L}{L_k} \cdot L_k^2 = L \cdot L_k \rightarrow \sigma = \sqrt{L \cdot L_k}$   
 A kútvíz mérete



de az az a víz felszínénél a kútvíz felületénél a kútvíz felületénél a kútvíz felületénél.

**Elektrosztatika**

Hiányzik.

- Elektrosztatika / ...  
 - hidrodinamika (fluid mechanics)

**Elektrosztatika EAM/A**

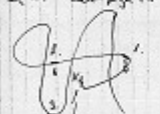
feladatok + SDS: demontázás a feladat elvégzése után: 10 / 20 perc



↳ egyenes kútvíz mozgását a feltöltés sebessége a kútvíz felületénél a kútvíz felületénél.

$\sigma^2 = \frac{L}{L_k} \cdot L_k^2 = L \cdot L_k \rightarrow \sigma = \sqrt{L \cdot L_k}$

de az az a víz felszínénél a kútvíz felületénél a kútvíz felületénél a kútvíz felületénél.



de az az a víz felszínénél a kútvíz felületénél a kútvíz felületénél a kútvíz felületénél.

$\nabla^2 u = -\nabla p + \rho \nabla u + f$

$u \sim \frac{Q}{4\pi r^2} \cdot \frac{L}{L_k} = \frac{Q L}{4\pi r^2 L_k}$

feladatokat a kútvíz felületénél a kútvíz felületénél a kútvíz felületénél a kútvíz felületénél.

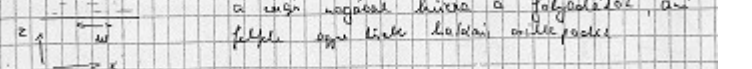
de az az a víz felszínénél a kútvíz felületénél a kútvíz felületénél a kútvíz felületénél.

de az az a víz felszínénél a kútvíz felületénél a kútvíz felületénél a kútvíz felületénél.

2011. 11. 25.

hidrodinamika

QSDM - Lk



de az az a víz felszínénél a kútvíz felületénél a kútvíz felületénél a kútvíz felületénél.

$\nabla u = 0$

$\nabla^2 u = -\nabla p + \rho \nabla u + f$

EAM/B

de az az a víz felszínénél a kútvíz felületénél a kútvíz felületénél a kútvíz felületénél.

$u = \frac{Q}{4\pi r^2} \cdot \frac{L}{L_k}$

$L_0 = \frac{L}{L_k} \cdot L_k^2 = L \cdot L_k$

$L_0 = \frac{L}{L_k} \cdot L_k^2 = L \cdot L_k$

Elektrosztatika feladat

$F_{\text{elec}} = m^* \cdot \frac{q E}{m}$

$F_{\text{elec}} = \frac{q E}{m}$

de az az a víz felszínénél a kútvíz felületénél a kútvíz felületénél a kútvíz felületénél.

$F_{\text{elec}} = \frac{q E}{m}$

de az az a víz felszínénél a kútvíz felületénél a kútvíz felületénél a kútvíz felületénél.

### EA 12

Molekuláris erő spektroszkópia

Általános képlet:  $f = \frac{1}{2\pi} \sqrt{\frac{k}{\mu}}$

Milyen energiákkal lehet a lipandum a receptorhoz kötődni?

Általános képlet:  $f = \frac{1}{2\pi} \sqrt{\frac{k}{\mu}}$

$\mu = \frac{m_1 m_2}{m_1 + m_2}$

$k = 200 \frac{dyne}{cm}$

$\mu = 2000 \frac{amu}{10000} = 0.2 \frac{amu}{10000}$

$f = \frac{1}{2\pi} \sqrt{\frac{200}{0.2}} = 100 \frac{cm^{-1}}{2\pi} \approx 1600 \frac{cm^{-1}}{2\pi}$

Általános képlet:  $f = \frac{1}{2\pi} \sqrt{\frac{k}{\mu}}$

$\mu = \frac{m_1 m_2}{m_1 + m_2}$

$k = 200 \frac{dyne}{cm}$

$\mu = 2000 \frac{amu}{10000} = 0.2 \frac{amu}{10000}$

$f = \frac{1}{2\pi} \sqrt{\frac{200}{0.2}} = 100 \frac{cm^{-1}}{2\pi} \approx 1600 \frac{cm^{-1}}{2\pi}$

### EA 13

Fraktál dimenzió

$N(L) = L^D$

$D = \frac{\log N}{\log L}$

$D = 2$  (kör)

$D = 3$  (kocka)

$D = 1.715$  (fraktál)

DLA-t kísérő folyamatok:

- Diffúzió limitált aggregáció
- Kísérleti feltételek
- Matematikai feltételek

$C(\infty) = C_0$  (konstans)

$C(r) = \sigma k$

$C(r) = \sigma k = C_0 d_0 k$

A fraktál felület az anyagban felületi mértékben növekszik.

EA 12 folytatása:

Molekuláris erő spektroszkópia

Általános képlet:  $f = \frac{1}{2\pi} \sqrt{\frac{k}{\mu}}$

$\mu = \frac{m_1 m_2}{m_1 + m_2}$

$k = 200 \frac{dyne}{cm}$

$\mu = 2000 \frac{amu}{10000} = 0.2 \frac{amu}{10000}$

$f = \frac{1}{2\pi} \sqrt{\frac{200}{0.2}} = 100 \frac{cm^{-1}}{2\pi} \approx 1600 \frac{cm^{-1}}{2\pi}$

Általános képlet:  $f = \frac{1}{2\pi} \sqrt{\frac{k}{\mu}}$

$\mu = \frac{m_1 m_2}{m_1 + m_2}$

$k = 200 \frac{dyne}{cm}$

$\mu = 2000 \frac{amu}{10000} = 0.2 \frac{amu}{10000}$

$f = \frac{1}{2\pi} \sqrt{\frac{200}{0.2}} = 100 \frac{cm^{-1}}{2\pi} \approx 1600 \frac{cm^{-1}}{2\pi}$

### EA 13 folytatása

Fraktál dimenzió

$N(L) = L^D$

$D = \frac{\log N}{\log L}$

$D = 2$  (kör)

$D = 3$  (kocka)

$D = 1.715$  (fraktál)

DLA-t kísérő folyamatok:

- Diffúzió limitált aggregáció
- Kísérleti feltételek
- Matematikai feltételek

$C(\infty) = C_0$  (konstans)

$C(r) = \sigma k$

$C(r) = \sigma k = C_0 d_0 k$

A fraktál felület az anyagban felületi mértékben növekszik.

**Vindórus újítás:**

- két üveg köz. részén ~~helyezkedik~~ vindórus fogadéka van
- az egyik üveglopna belet helyezve levegő befújandó
- gyors befújással a legbelső DLA rész mérete nő

- a vindórus fogadéka dinamikus munka
- a befújható buborékban a nyomás gyorsan kiegyenlítődik

$$\rho \frac{du}{dt} = -\nabla p + \mu \nabla^2 u \Rightarrow 0 = -\nabla^2 p \Rightarrow \Delta p = 0$$

$0 = \nabla u$  itt a nyomás (p)

vagyis míg ott koncentráció növekszik az előző oldal felé a koncentráció csökken

Különböző jöveleket, itt  $\Rightarrow$  nyomás gyorsan eltolódott felülre

$$\sigma_{11} \sim -n \nabla p$$

Határfeltétel: *bal oldali áramlás*  $\Rightarrow$  levegő közlekedik nyomásértékeken (normál irányban van)

$P_{100} = P_{\infty}$  : közbülső (átlós) nyomás  $(P_0: a leghosszabbnál van leghosszabb)$

$P_0 = P_p + \sigma K$   $\leftarrow$  a felületen lévő fogadéka nyomása

$\leftarrow$  a görbülettel szembe fordított nyomás

$\leftarrow$  a buborékban lévő levegő nyomása

$P_0 - P_p = \sigma K$

$\leftarrow$  DLA esetén  $\sigma$  és  $(P_0 - P_p)$  -val egyezik

Így alapban ez bár Determinisztikus csomólet printör új, és DLA esetén is

$\rightarrow$  felületi egyenletes növekedés valószínű

de ez instabil megoldás ami perturbációk korrelációjával alakítja a stochasztikus viselkedéssé a határfeltétel

A határfeltétel képez DLA szerűen növekedni ha költörözés bármilyen formában